

Fig. 1
(PRIOR ART)

R. FINK ET AL.
12179-P092US

2/8

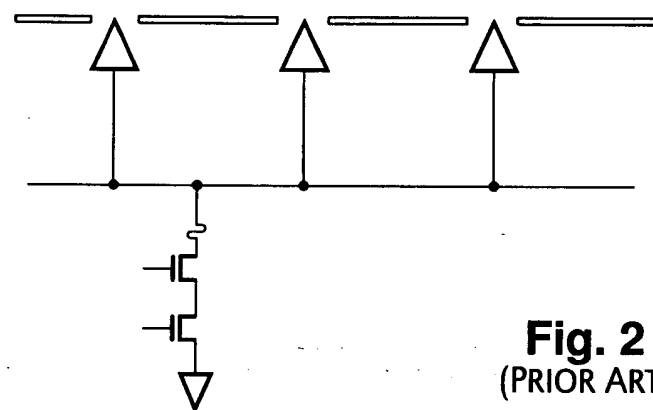


Fig. 2
(PRIOR ART)

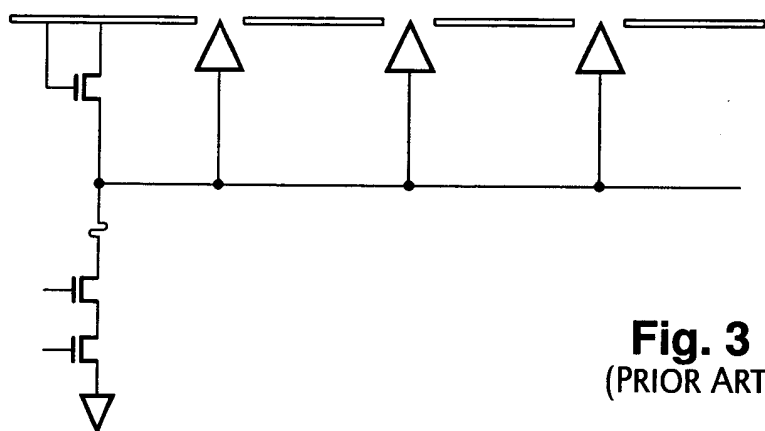


Fig. 3
(PRIOR ART)

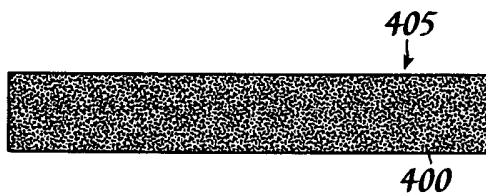


Fig. 4A

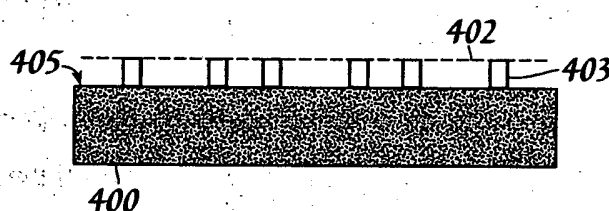
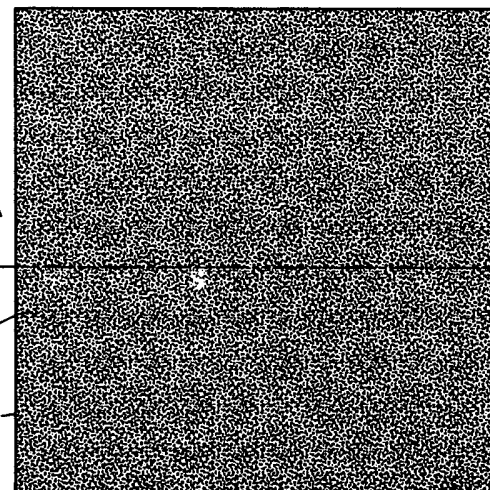


Fig. 4B

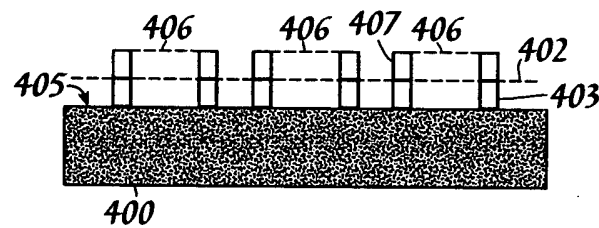
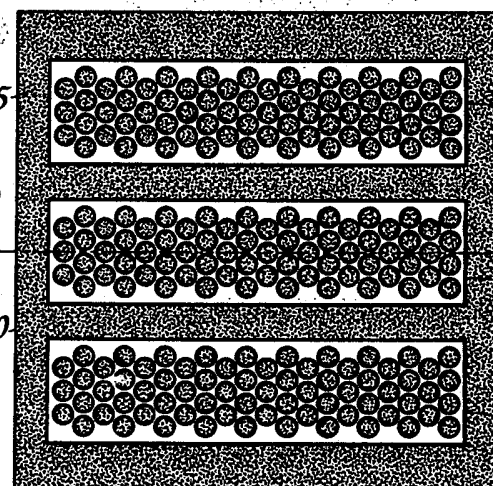
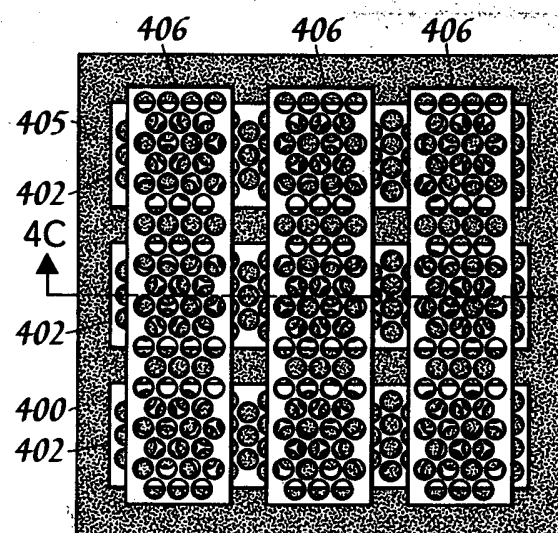


Fig. 4C



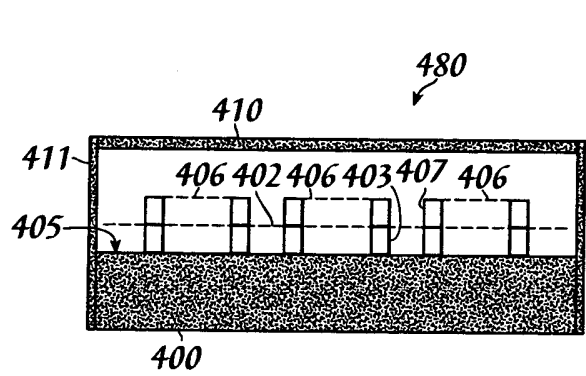
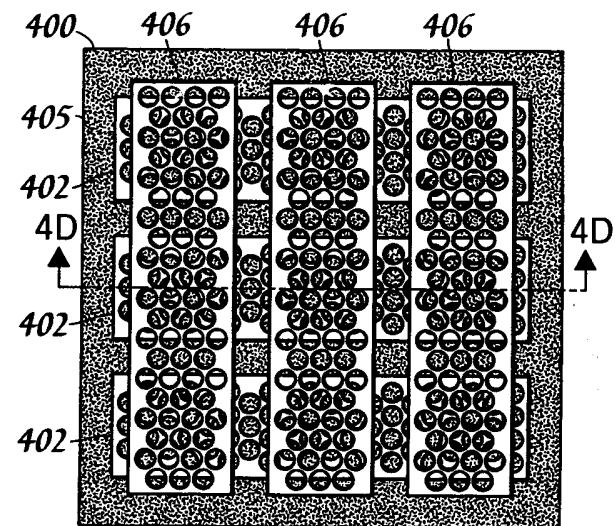


Fig. 4D



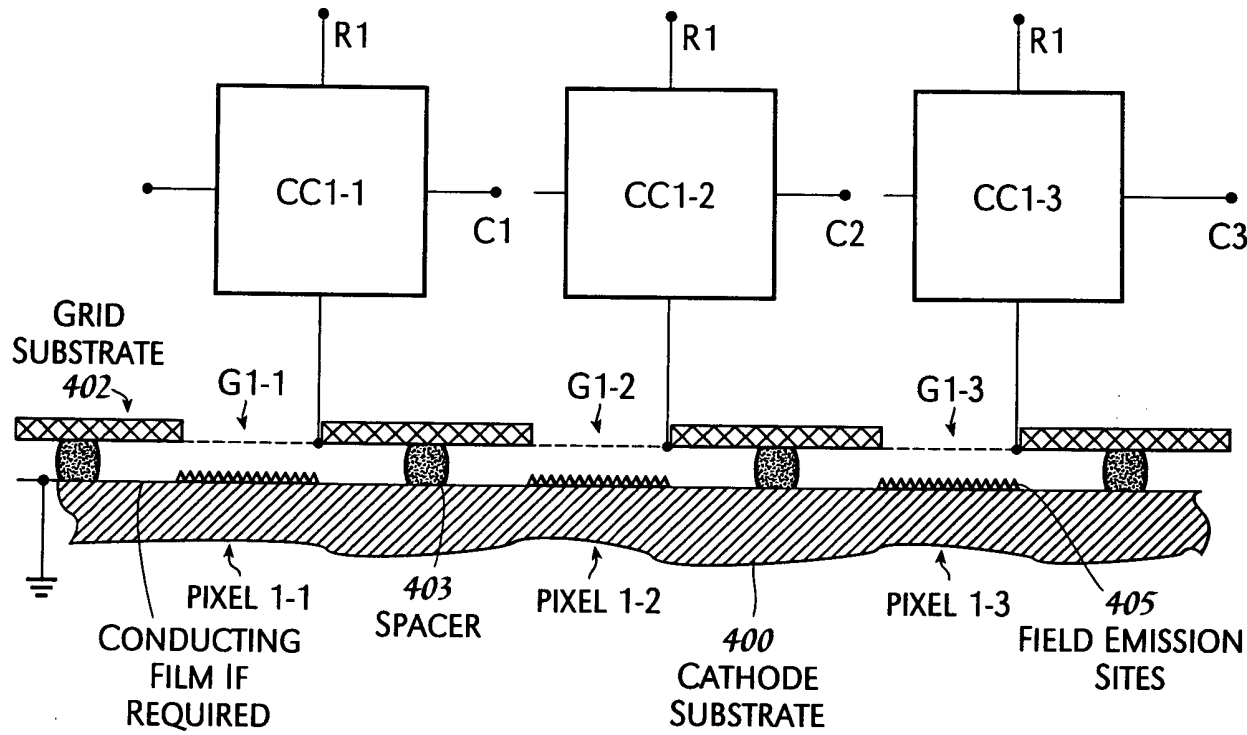


Fig. 5

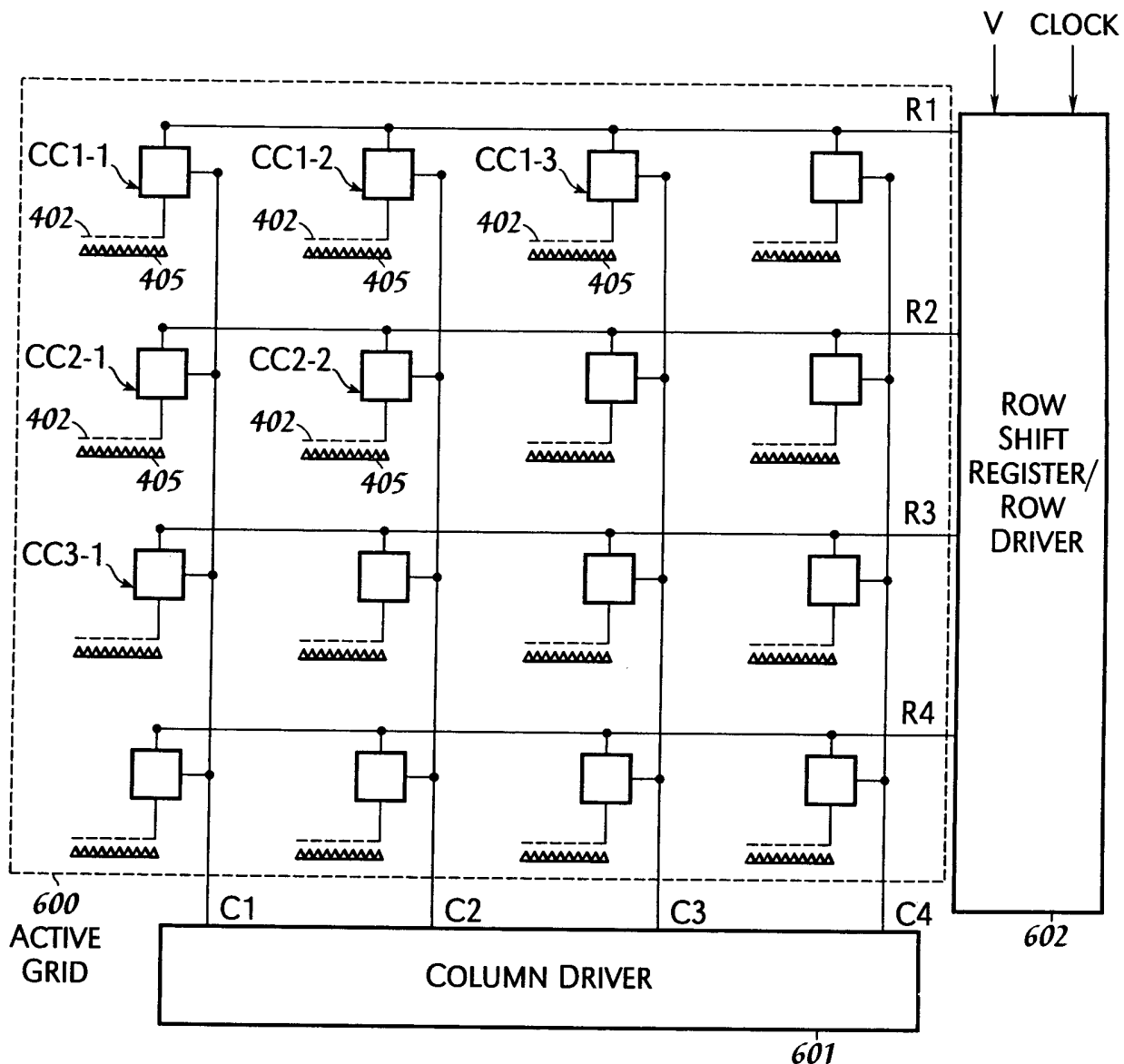


Fig. 6

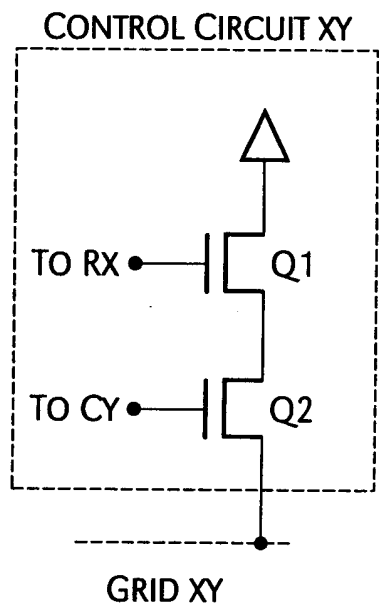


Fig. 7

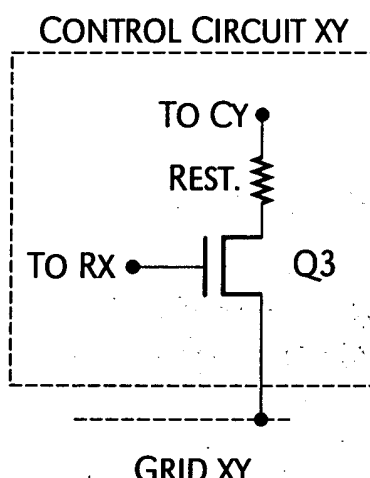


Fig. 8

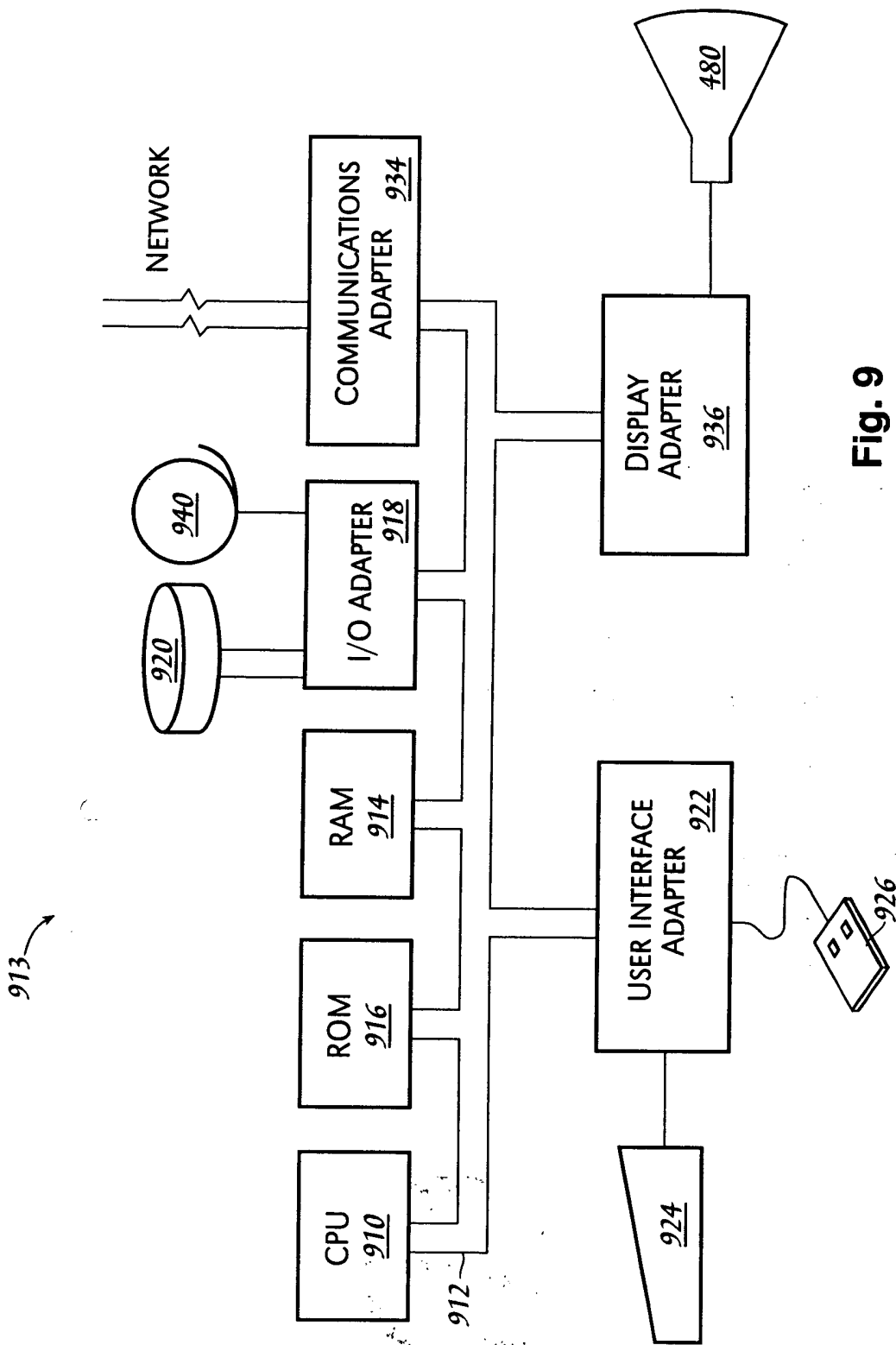


Fig. 9